

Bd-Co

$A_{B_5}$        $A = Y, La, Ce, Pr, Nd, Eu, Er, Dy$   
 $B = Co, Ni, Cu.$  (spinel. esp-pa)

Worchick Y.H., Heller S.,  
Acta crystallogr.,  
1959, 12, N9, 662 - 665.      1959

PX, 1960, 16668 MI

Ce<sub>2</sub>Co<sub>5</sub>, Sm<sub>2</sub>Co<sub>5</sub>, Gd<sub>2</sub>Co<sub>5</sub>, Dy<sub>2</sub>Co<sub>5</sub>, Ho<sub>2</sub>Co<sub>5</sub>,  
Y<sub>2</sub>Co<sub>5</sub> (Tet)

1960

VIII 4302

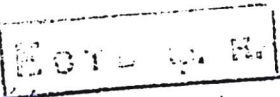
Nassau R., Cherry L.V.,  
Wallace D.S.

J. Phys. and Chem. Solids,  
1960, 16, N 1-2, 131-137

NOTE b Ad.  
P.M., 1961, 5 Dec 67

Gd Co<sub>5</sub>, Gd Fe<sub>5</sub>, Gd Fe<sub>2</sub> VIII 4257  
(specim. aust-pa) 1962

Hokkaido D. M., Renshi O.  
J. Phys. Soc. Japan,  
1962, 17, Suppl. B-1, 143-146



Rev, 1983, 52141

1963

La<sub>11</sub>Mg<sub>9</sub>, CeMg<sub>9</sub>, (La, Mg<sub>77</sub>, Ce<sub>2</sub>Mg<sub>7</sub>),  
NdMg<sub>12</sub>, NdMg<sub>3</sub>, NdMg<sub>x</sub>, ErMg<sub>2</sub>, ErMg<sub>84</sub>,  
Al<sub>2</sub>Mg<sub>2</sub>, ErAl<sub>2</sub>, YAl<sub>2</sub>, PrAl<sub>4</sub>, NdAl<sub>4</sub>,  
YAl<sub>4</sub>, ErAl<sub>3</sub>, Ce<sub>2</sub>Fe<sub>17</sub>, Ce<sub>2</sub>Co<sub>17</sub>, Nd<sub>2</sub>Fe<sub>17</sub>,  
Nd<sub>2</sub>Fe<sub>17</sub>, Nd<sub>2</sub>Co<sub>17</sub>, CeTi<sub>4</sub>Al<sub>8</sub> (Г-пересогн. штамп),  
Ce<sub>20</sub>Al<sub>35</sub>Ti<sub>45</sub>. (Красн. синт-ва)

Изображение сделано З. И. Кричевской Н.И.,  
сформировано Е. З. Заречником О.С. Заречником  
и И. И. Зубоженским В. И.  
Б. С. "Редкозем. минералы", М.,  
МГ РСФСР, 1963, 67. РИ, 1964, 8420 №

$\text{Nd}_2\text{Fe}_{17}$ ,  $\text{Gd-Fe}/89,5\%$  Fe), 1963  
 $\text{Gd-Fe}(86,8\%$  Fe),  $\text{Gd}_2\text{Co}_{17}$ ,  $\text{GdRu}_{24}$   
 $\text{GdAl}_2$ ,  $\text{GdAl}_3$ ,  $\text{GdAl}_5$ ,  
(спуск. арх-10)

Окруженеев Н.Н., Мережова  
В.Ф., Запеков О.С., Буровыи В.,  
Окруженая мерафаза, 1963, 8, 12,  
268.

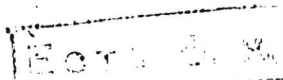
PX, 1963, 17Б171

Ta. PB, Holo<sub>3</sub> (spécies. exp-pa) 1968

VIII 3919

Bertrand E.F., Lemaine R.;  
Schweitzer J.,

C.R. Acad. sci., 1965, 260, n° 3, 3595



P.M., 1965, 102226

Mr

R  $H_2$  + R  $CO_2$  VIII 3987  
1965  
(R = La, Ce, Pr, Nd, Sm, Eu, Gd, Tb, Dy, Ho,  
Er, Tm). (species: cep-pa)

Harris J. R., Mawsey R. C.;  
Raynor G. D.;  
J. Less-Common Metals,  
1965, 9, n 4, 270-280

PX, 1966, 24B36 EOTC 65

Gd<sub>2</sub>Te<sub>3</sub>, GdNi<sub>3</sub>, GdCo<sub>3</sub>, YFe<sub>3</sub>, VIII Y100  
YNi<sub>3</sub>, YCo<sub>3</sub>. (OK pieces. exp. -99)  
1965

Vucht J. H. N. van,  
J. Less-Common Metals,  
1965, 10, n2, 146-147

PX, 1966, 15B391

M1

$\text{Pr}_2\text{Co}_{17}$ ,  $\text{Nd}_2\text{Co}_{17}$ ,  $\text{Ho}_2\text{Co}_{17}$ ,  $\text{Er}_2\text{Co}_{17}$ ,  
 $\text{Tb}_2\text{Co}_{17}$ ,  $\text{Ce}_2\text{Co}_{17}$ ,  $\text{Sm}_2\text{Co}_{17}$ ,  $\text{Gd}_2\text{Co}_{17}$ ,  
 $\text{Dy}_2\text{Co}_{17}$ ,  $\text{Y}_2\text{Co}_{17}$ . (précis. comp-pa)

VIII 4213

Bouchet G, Laforest Y,  
Leniaire R., Schweizer Y.

C.R. Acad. sci., 1966, AB 262,  
N°8, p 1227-1230

px, 1967. 9/236

$(R_1)_2 Fe_{17} / R_1 = Gd, Tb, Dy, Ho, Er$ , 1966  
 $(R_2)_2 Co_{17}$ , ( $R_2 = Pr, Nd, R_1$ );  $(R_3)_2 Ni_{17}$   
(reperción. cit-pa) ( $R_3 = Sm, R_1$ )

Buschow K. H. J.,  
J. Less-Common Metals,  
1966, 11, 213, 204.

PX 1967 45330 113

BP-4004-VIII

1966

Gd C05 Yemaire R

Cobalt 1966, N.S.L.,  
132-140

Ttr

P.M. 1964 12/212

$\frac{1}{2} \text{CO}_1 \text{z}$ ,  $\frac{1}{2} \text{CO}_5$ ,  $\frac{1}{2} \text{CO}_7$ ,  $\frac{1}{2} \text{CO}_3$ ,  $\frac{1}{2} \text{CO}_2$  1966  
T-P. 3. 2. uses 1)  $\sqrt{t_2}$ ) VIII 4283

Semaire R.,

Cobalt, 1966, #33, 201-211

earliest p-k

$\text{Ce}_2\text{Co}_{17}$ ,  $\text{Pr}_2\text{Co}_{17}$ ,  $\text{Nd}_2\text{Co}_{17}$ ,  $\text{Dy}_2\text{Co}_{17}$  1966  
 $\text{Gd}_2\text{Co}_{17}$ ,  $\text{Tb}_2\text{Co}_{17}$ ,  $\text{Dy}_2\text{Co}_{17}$ ,  $\text{Ho}_2\text{Co}_{17}$ ,  
 $\text{Er}_2\text{Co}_{17}$ ,  $\text{Tm}_2\text{Co}_{17}$ ,  $\text{Lu}_2\text{Co}_{17}$ : VIII 4057  
(pracov. císp.-po)

Ostroctav W., Sternat K.: J.,  
Acta crystallogr.,  
1966; 21, n 4, 560-565

PK, 1967, 4B328

East. d. H.

Gd<sub>2</sub>Co<sub>7</sub>; Tb<sub>2</sub>Co<sub>7</sub>; Dy<sub>2</sub>Co<sub>7</sub>; VIII 1962 1967

Ho<sub>2</sub>Co<sub>7</sub>; Er<sub>2</sub>Co<sub>7</sub>; Tm<sub>2</sub>Co<sub>7</sub>; Lu<sub>2</sub>Co<sub>7</sub>;

Y<sub>2</sub>Co<sub>7</sub> (крист. спир-ра)

Ostfertag W.,

J. Less. Common Metals, 1967,  
13, NY, 385-390

PX 1968  
654515

М. А. Ст. д. в.

$\text{YdAl}_2$ ;  $\text{YdCo}_2$ ;  $\text{ErCo}_2$ ;  $\text{ErAl}_2$

VIII 182

$\text{Yd}(\text{Al}, \text{Fe})_2$ ;  $\text{Er}(\text{Al}, \text{Co})_2$ ;  $\text{Yd}(\text{Al}, \text{Co})_2$

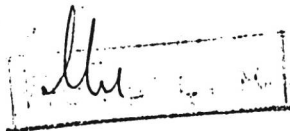
1967

Oesterreicher H., Wallace W. E.,

N. Hess: Common Metals, 1964,

13, N1, 91-102

TM 1968



8 VIII 4878

1967

$\text{CeCo}_3$ ,  $\text{Pr}_2\text{Co}_3$ ,  $\text{NdCo}_3$ ,  $\text{SmCo}_3$ ,  $\text{GdCo}_3$ ,  $\text{TbCo}_3$ ,  $\text{DyCo}_3$ ,  
 $\text{HoCo}_3$ ,  $\text{Er}_2\text{Co}_3$ ,  $\text{TmCo}_3$ ,  $\text{LuCo}_3$  Крист. сп-фк.

Ostertag Werner

Trans. Metallurg. Soc. AIME; 1967, 239,  
n 5, 690-694 (анг.).

Созданные предложенными методами  
кобальты со структурой  $\text{A}3$ .

Дн, 1970, 62155

16

NiGd<sub>3</sub>, CoGd<sub>3</sub> (Ttr)

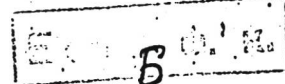
VIII 1068

Arajs S., Colvin R.V.,

J. Less-Common Metals, 1964, 7 N5, 338

Effect of iron impurity on the magnetic  
susceptibility of gadolinium at elevated  
temperatures.

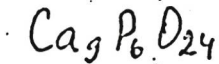
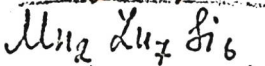
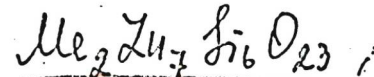
Proc. IAEA., 1965, 34181



VIII

3508

1968



Mg = Mg, Mn, Ni, Co, Fe  
Lu = La, Nd, Sm, Gd, Dy, Ho,  
(rare earths).

T<sub>fo</sub> f.

J. Res. Nat. Bur. Standards,

1968, A72, 355-358

Mu

ecus ED.K

VIII 152

VIII 152

1968

GdCo<sub>2</sub> u gp. (Krusen. cuppa)

Mansey R.C., Raynor G.V.; Harris I.R.

J. Less-Common Metals,

1968, 14, N3, 337-347

Mit

VIII 152

1968

Gd Al Co u gp. (Kroeuw. cupper)

Mansey R.C., Raynor G.V., Harris I.R.,

J. Less-Common Metals,

1968, 14, n3, 337-347



Ed. by H. H.

$T\text{CO}_2$  ( $T_{\text{tr}}$ ) , ye  $T = \underline{\text{P3M}}$  un Y 1969

Block D., Chaisse F.

C. r. Acad. sci., 1969, 268, B660-B663

T

VII - 3587-82 1969

GdCo  
X

11 Б1274. Исследования в системах Gd-Co и  
Sm-Co. Lihl F., Ehold J. R., Kirchmaier H. R.,  
Wölf H. D. Untersuchungen in den Systemen Sm-Co  
und Gd-Co. «Acta phys. austriaca», 1969, 30, № 1-2,  
164-175 (нем.)

С помощью рентгенографич., металлографич. и хим.  
методов, а также ДТА исследованы системы Sm-Co  
(60—100% Co, всюду ат%) и Gd-Co. Образцы сплавов  
изготовлены сплавлением элементов в высокочастотной  
индукц. печи (тигель—корунд с графитовым покрытием,  
атмосфера очищ. Ar) и в дуговой печи. В изученных си-  
стемах установлены фазы:  $Gd_2Co_{17}$  и  $Sm_2Co_{17}$  с обла-  
стями гомогенности шириной 0,5—2%. Co при т-рах  
 $>1000^\circ$  и ромбоэдрич. решетками типа  $Th_2Zn_{17}$  (ф. гр.

T<sub>m</sub>

+

X. 1970. 11



+(1)



*R3m*) с параметрами, изменяющимися с ростом конц-ии Со от 8,387 до 8,379 $\text{\AA}$  (*a*) и от 12,194 до 12,203 (*c*) для  $\text{Gd}_2\text{Co}_{17}$  и от 8,434 до 8,420 $\text{\AA}$  (*a*) и от 12,170 до 12,210 $\text{\AA}$  (*c*) для  $\text{Sm}_2\text{Co}_{17}$ . ( $\text{Gd}_2\text{Co}_{17}$  и  $\text{Sm}_2\text{Co}_{17}$  плавятся конгруэнтно при 1335° и 1375° соотв. и образуют эвтектику с Со при 1280° и 1330°);  $\text{GdCo}_5$  и  $\text{SmCo}_5$  с областями гомогенности 1—3%; Со при т-рах >1000° и гексагон. решетками типа  $\text{CaZn}_5$  (ф. гр.  $P6mm$ ) с параметрами, изменяющимися с ростом конц-ии Со от 4,977 до 4,960 $\text{\AA}$  (*a*) и от 3,967 до 3,989 $\text{\AA}$  (*c*) для  $\text{GdCo}_5$  и от 5,010 до 4,957 $\text{\AA}$  (*a*) и от 3,975 до 4,006 $\text{\AA}$  (*c*) для  $\text{SmCo}_5$  (фазы плавятся инконгруэнтно при 1290° и ~1330° соотв.);  $\text{Gd}_2\text{Co}_7$  с ромбоэдрич. решеткой (ф. гр.  $R\bar{3}m$ ) и параметрами *a* 5,053, *c* 36,315 $\text{\AA}$  и  $\text{Sm}_2\text{Co}_7$  с гексагон. решеткой типа  $\text{Ce}_2\text{Ni}_7$  (ф. гр.  $P6_3/mmc$ ), с параметрами *a* 5,052, *c* 24,310 $\text{\AA}$  ( $\text{Gd}_2\text{Co}_7$  и  $\text{Sm}_2\text{Co}_7$  плавятся инконгруэнтно при 1245° и 1280° соотв.);  $\text{GdCo}_2$  и  $\text{SmCo}_2$  с кубич. решетками типа  $\text{MgCu}_2$  и параметрами соотв. 7,270 и 7,260 $\text{\AA}$  (фазы плавятся инконгруэнтно при 1080° и 1050°). Кроме того в системах зафиксированы фазы:  $\text{GdCo}_3$  и  $\text{SmCo}_3$  с ромбоэдрич. решеткой типа  $\text{PuNi}_3$  и параметрами *a* 5,053 и 5,061 и *c* 24,555 и 24,610 $\text{\AA}$ ; фазы плавятся инконгруэнтно при 1185° и 1190°. В системе Gd—Со установлены также фаза  $\text{Gd}_4\text{Co}_3$  с гексагон. решеткой типа  $\text{Ho}_4\text{Co}_3$  (*a* 11,592, *c* 4,042 $\text{\AA}$ ), к-рая плавится инконгруэнтно при 640°, фазы приблизительного состава  $\text{Gd}_7\text{Co}_3$  и  $\text{Gd}_9\text{Co}$  с ромбич. решеткой и параметрами соотв. *a* 15,25, *b* 12,85 и *c* 6,16 $\text{\AA}$ ; *a* 12,67, *b* 9,83 и *c* 9,09 $\text{\AA}$ . Фаза  $\text{Gd}_3\text{Co}$  является метастабильной и образуется по перитектич. р-ции  $\text{Gd}_9\text{Co} + L$  при 765°. Эвтектика  $\text{Gd}_7\text{Co}_3 + \text{Gd}_4\text{Co}_3$  плавится при 620°. Л. В. Шведов

Gd<sub>2</sub>Co<sub>3</sub>; Tb<sub>2</sub>Co<sub>3</sub>; Dy<sub>2</sub>Co<sub>3</sub>, [T] 1970  
Ho<sub>2</sub>Co<sub>3</sub>; Er<sub>2</sub>Co<sub>3</sub> [ref] VIII 392b

Rappatsch A., Quenel-Ambouze  
S., Sirandiere J.,  
J. Phys. (Paris), 1970, 31, N° 4, 359-46  
Structure and magnet-(coppery)  
tic properties of the rare-earth  
orthocobaltites Co<sub>3</sub>.

10 B ⑩ CA 1970, 13, N° 16, 815856

Gd<sub>3</sub>Co 8 VII 4889 Tt<sub>2</sub> 1970

Stoydom D.A.W., Alberts L.

J. Less-Common Metals 1970, 22, n4,  
503-509 (акн.)

0 машиностроениях  
созданные заготовки - подаются

РМ, 1971, 4U282 ○ Al

Gd<sub>3</sub>Co 8VIII 4890 Красн. гор-я  
Strydom O.A.W., Alberts. I. 1970

J. less - Common metals' 1970,  
22, n 4, 511-515 (and)

Структура Gd<sub>3</sub>Co.

Дн, 1971, ЧУ52



ст. №

$\text{Zr}_3\text{Mg}_{2.5}\text{Ge}_{2.5}\text{O}_{12}$  ugp. ( $T_m$ )<sup>8,9,10</sup> / 1971

$\text{Gd}_2\text{Co}_3\text{Ge}_{12}$  Tuna ( $T_m$ )

$\text{M}_3\text{M}_{2.5}\text{Ge}_{2.5}\text{O}_{12}$ , zoe M =

= neogkoyev. uem., M' = Mg, Co, Ni, Zn

vii 5380

Bayer G.

Naturwissenschaften, 1971, 58, N12, 622.

New rare-earth germanates  
(akut.)

with garnet structure.

5 ♂ ♀ 0

~~\*\*\*\*\*~~

CA, 1972, 46, N12, 646698

viii 4996

РЗМ<sub>x</sub>Со (РЗМ = La, Ce, Sm, Gd, Dy, Ho, Er, Y)  
8 Десн. Сп-ра, Тм 1971

Buschow K.H.J., Philips Res. Repts',  
1971, 26, no, 49-64 (авт).

Интересующее соединение  
РЗМ с Со.

○ № 12

(φ)

Р.И., 1971, 7434

GdCoO<sub>3</sub>

1971

15 В3. Изменение физических свойств перовскита  
GdCoO<sub>3</sub> в интервале 77—1200 К. Casalot A., Dougier P., Hagenmuller P. Sur l'évolution des propriétés physiques de la perovskite GdCoO<sub>3</sub> entre 77 et 1200° K. «J. Phys. and Chem. Solids», 1971, 32, № 2, 407—415  
(франц.; рез. англ.)

Структура

Изучены магнитная восприимчивость, электропроводность, термо-э. д. с., структура (рентгенографич. методом) и термич. поведение (методами ДТА и ТГА) GdCoO<sub>3</sub> (I) при т-рах 77—1200° К. I получен окислением на воздухе смеси CoCO<sub>3</sub> и Gd<sub>2</sub>O<sub>3</sub> при 1200° в течение 24 час. Скорость р-ции значительно возрастает при избытке Gd<sub>2</sub>O<sub>3</sub>, к-рый может быть затем удален экстракцией р-ром NH<sub>4</sub>Cl. При т-рах <1300° в I отсутствуют

X·1971·15

фазовые превращения 1-го рода. I имеет ромбич. структуру,  $a$  5,221,  $b$  5,385,  $c$  7,465 Å. Изучено изменение параметров решетки I с т-рой. В I Gd играет роль в механизме электропроводности. Присутствие иона Gd в центре решетки перовскита усиливает ковалентный характер связей Со—О и таким образом запрещает переходы из состояний локализованных электронов в колективные и обратно. Изученные св-ва I соответствуют модели локализованных электронов Гуденафа. С. повышением т-ры ионы Со постепенно переходят от низкоспиновой ( $t_{2g}^6 e_g^4$ )- к высокоспиновой ( $t_{2g}^4 e_g^2$ )-конфигурации.

И. Н. Семенов

Gd<sub>2</sub>Co<sub>3</sub>, Tb<sub>2</sub>Co<sub>3</sub>, Y<sub>2</sub>Co<sub>3</sub>, Y<sub>2</sub>Co<sub>7</sub>, Gd<sub>2</sub>Co<sub>7</sub> (Curie)

Bloch D., Chaisse F., VIII 5536

C. R. Acad. Sci., 1972, B274, N<sub>4</sub>, 221-4

(apparens.)

Effect of hydrostatic pressure  
on the Curie temperature of sev-  
eral compounds of the formula  
 $M_2Co_3$  or  $M_2Co_7$ , where  $M$  = rare  
earth, yttrium, or lutetium

An (cp)

CA, 1972, 76, N<sub>20</sub>, 118999e

1972

R<sub>3</sub>Ni; R<sub>3</sub>Co; (R = Nd, Gd, Tb, Yb,  
Ho, Er) (T<sub>tz</sub>) VIII 5263

Primavesi G.J., Taylor K.N.,  
Z. Phys. F: Met. Phys. 1972,  
2, N4, 761-70

PM-72

As

9P

1973

GdCo<sub>2</sub>

84: 33011b Temperature dependence of the electric and galvanomagnetic properties and crystal structure of gadolinium-cobalt (GdCo<sub>2</sub>) films. Buravikhin, V. A.; Bochkarev, V. F.; Sukhomlin, V. T.; Budanov, O. P.; Martynova, T. M.; Balkaev, B. A.; Egorov, V. A. (Pedagog. Inst., Irkutsk, USSR). *Tr. Mezhdunar. Konf. Magn.* 1973 (Publ. 1974), 5, 211-16 (Russ). "Nauka": Moscow, USSR. The temp. dependence was detd. of the elec. and galvanomagnetic properties and the crystal structure was studied for GdCo<sub>2</sub> films obtained by thermal evapn. on a glass substrate. GdCo<sub>2</sub> films have a face-centered cubic lattice with  $a = 7.28 \text{ \AA}$ . The Curie point is  $130 \pm 1^\circ$ . The Hall effect above the Curie temp. has an anomalous character due to the intensive para-process. The behavior of the domain structure of the GdCo<sub>2</sub> film during remagnetization in an alternating field indicates the presence of 2 magnetic sublattices, the magnetization vectors of which are directed at an angle to each other.

(Curie)

C. A. 1976. 84. N6

Sm-Co, Gd-Co. DC;  $GdCo_5$  - Tform,  $Gd_2Co_{17}$

Trekt.

XVIII 404

1973

Buschow K. H. J., Broeder F. J. A. "J. Less-  
Common Metals," 1973, 33, N2, 191-201  
(refs.).

Oднаки смесей, состоящих из дей-  
терия, ион гадолиния соединений [цикло-  
свинца - кобальт и циркония - кобальт.

РНМ, ЗНЧ, 1944

A1, B.

$\text{LaCo}_2\text{Ge}_2$ ;  $\text{CeCo}_2\text{Ge}_2$ ;  $\text{PrCo}_2\text{Ge}_2$ ; 1373  
 $\text{NdCo}_2\text{Ge}_2$ ;  $\text{SmCo}_2\text{Ge}_2$ ;  $\text{GdCo}_2\text{Ge}_2$ ; VIII S 45  
 $\text{TbCo}_2\text{Ge}_2$ ;  $\text{DyCo}_2\text{Ge}_2$ ;  $\text{HoCo}_2\text{Ge}_2$ ; T Neel  
 $\text{ErCo}_2\text{Ge}_2$ ;  $\text{ThCo}_2\text{Ge}_2$ ;  $\text{YbCo}_2\text{Ge}_2$ ;  $\text{LuCo}_2\text{Ge}_2$

McCall, W. H., Narasimhan K. S. V. L., Butera A.,  
 J. Appl. Phys., 1973, 44, N10, 4724-C (and)

Magnetic properties of  $R\text{Co}_2\text{Ge}_2$  compounds  
 ( $R$  = lanthanum, cerium, praseodymium, neodimium,  
 samarium, gadolinium, terbium, dysprosium, holmium,  
 lutetium, ytterbium, yttrium, erbium, thulium,

Mr. OP

9

CA, 1973, 79, N26, 15096 ff

GdCo<sub>5</sub>; DyCo<sub>5</sub>; TbCo<sub>5</sub>; HoCo<sub>5</sub>; ErCo<sub>5</sub> (curve) 1373

Okamoto T., Fujii H., Inoue C.

Tatsumoto E. VIII' 5602

J. Phys. Soc. Jap., 1973, 34, N<sub>3</sub>, 835

Magnetic moment and easy  
effection of heavy rare earth  
cobalt compounds RCo<sub>5</sub>. (and.)

Ar CP

9

CA, 1973, 78, N<sub>24</sub>, 153031w

$\text{Li}_3\text{Mg}_{2.5}\text{Ge}_{2.5}\text{O}_{15}$  u gp (Tm) VII 5320  
1974  
 $\text{Gd}_2\text{Co}_3$ ;  $\text{Ge}_2\text{O}_{12}$  m.n.a.  $\text{M}_3\text{M}_{2.5}\text{Ge}_{2.5}\text{O}_{12}$   
zge M = FeGKoZeu. Met. M' = Mg, Co, Ni, Zn

Bayer G.,

Naturwissenschaften, 1974, 58,

N12, 622

5

(P)

O

20

C972

XVIII-183

1974

Ca<sub>2</sub>O<sub>5</sub>, Pr<sub>2</sub>O<sub>5</sub>, Nd<sub>2</sub>O<sub>5</sub>, Sm<sub>2</sub>O<sub>5</sub>, Gd<sub>2</sub>O<sub>5</sub>(p.)

Keller D.H., Sancar S.B., Craig R.S.,  
Wallace W.E.

AIP(Amer. Inst. Phys.) Conf. Proc., 1974,  
18, Pt 2, 1207-11

1)

Ap

XVII-366

1975

Gd<sub>3</sub>Co

Tb<sub>3</sub>Co

156935h Pressure dependence of the magnetic ordering temperature of gadolinium-cobalt (Gd<sub>3</sub>Co) and terbium-cobalt (Tb<sub>3</sub>Co). Parviaainen, S. (Wihuri Phys. Lab., Univ. Turku, Turku, Finland). *Phys. Status Solidi A* 1975, 30(2), K173-K176 (Eng). The effect of pressure on the magnetic ordering of rare earth-rich intermetallics Gd<sub>3</sub>Co and Tb<sub>3</sub>Co. A max. in the inductance was obsd. in the transition region for both compds., and the max. decreases with increasing temp. In these compds., the magnetic ordering is essentially due to indirect interactions between rare earth atoms. Linear pressure dependences of Neel temp. were obsd. for both compds.

(T<sub>Neel</sub>)

C.A. 1975-83 n18

(+1) 18

1977

GdCo<sub>2</sub>

GdFe<sub>2</sub>

T<sub>curie</sub>

88: 162 13d On the magnetic behavior of RT<sub>x</sub>(T = iron or cobalt) amorphous rare-earth compounds. Burzo, E. (Inst. Phys. Technol. Mater., Bucharest, Rom.). *Rev. Roum. Phys.* 1977, 22(6), 607-12 (Eng). The magnetic properties of GdCo<sub>2</sub> and GdFe<sub>2</sub> both in cryst. and amorphous states were compared in order to study whether the difference in magnetic properties in amorphous and corresponding cryst. states of rare earth-transition metal compds. were due to modifications in at. order. The magnetic interactions in these compds. at both cryst. and amorphous states were compared. The very different behavior in Curie temp. of GdCo<sub>2</sub> and GdFe<sub>2</sub> suggested that the Fe and Co moments in amorphous states behave quite differently.

(+1)



C.A. 1978, 82, 122

*Gd<sub>x</sub>Co<sub>y</sub>*

1977

SS: 31210q Magnetic properties of some gadolinium-cobalt intermetallic compounds. Katayama, Toshikazu; Shibata, Tsugio; Koizumi, Yoshiaki; Tsushima, Tachiro (Electrotech. Lab., Tokyo, Japan). *Denshi Gijutsu Sogo Kenkyusho Iho*, 1977, 41(4), 247-8 (Japan). Single crystals of compns. of  $GdCo_3$ ,  $Gd_2Co_7$ ,  $GdCo_5$ ,  $Gd_{2.2}Co_{16.6}$ , and  $Gd_2Co_{17}$  were prepd. in BN-coated alumina crucibles by using the Bridgman method, and their crystallog. and magnetic properties were studied. The lattice consts. and densities were detd. The satn. magnetization, magnetoocryst. anisotropies  $K_1$  and  $K_2$ , and anisotropy field were measured at room temp. and 80 K. Compensation temps. and Curie temps. were also detd. The magnetoocryst. anisotropy of G-Co phases in the stable region at the  $Th_2Zn_{17}$ -type structure changes very sensitively from neg. to pos. values as the Gd/Co ratio increases above the stoichiometric ratio of 2/17.

H. Kobayashi

C.A. 1978, 88, N4

Gd<sub>2</sub>Co<sub>3</sub>B<sub>2</sub>

1977

> 86: 100020a Magnetic studies on RCo<sub>3</sub>B<sub>2</sub>(R = samarium, gadolinium, erbium). Oesterreicher, H.; Parker, F. T.; Mierzwa, M. (Dep. Chem., Univ. California, La Jolla, Calif.) *Appl. Phys.* 1977, 12(3), 287-92 (Eng). Compds. RCo<sub>3</sub>B<sub>2</sub> with R = Sm, Gd, and Er were prep'd. and identified structurally by x-ray diffraction. Magnetic properties of these materials were studied down to liq. He temp. The materials order ferromagnetically (e.g.,  $T_c$  for GdCo<sub>3</sub>B<sub>2</sub> is 58 K). The magnitude of satn. moments indicates that Co is nonmagnetic in this environment. Bulk specimens of the compd. SmCo<sub>3</sub>B<sub>2</sub> show extraordinary high coercive forces at 4.2 K ( $H_c = 50$  kOe). The 2nd-order crystal field term of Sm in this compd. is calcd. on the basis of point charge crystal field model and is considerably larger than the 1 of Sm in SmCo<sub>5</sub>. This is mainly due to the unusual ratio of the lattice consts.

(T<sub>tr</sub>)

C.A. 1977. 86. 14

*Gd<sub>2</sub>Co*

*Tecuire*

89: 208075y Local and bulk magnetic properties of amorphous ferromagnetic gadolinium-cobalt (Gd<sub>2</sub>Co) obtained by splat cooling. Durand, J.; Raj, K.; Poon, S. J.; Budnick, J. I. (W. M. Keck Lab. Eng. Mater., California Inst. Technol., Pasadena, Calif.). *IEEE Trans. Magn.* 1978, MAG-14(5), 722-4 (Eng).

The results are presented of NMR, bulk magnetization and susceptibility measurements on amorphous Gd<sub>2</sub>Co obtained by splat-cooling. This alloy is ferromagnetic below a Curie temp.  $T_c$  of 172 ( $\pm 3$ ) K as measured by using an inductance bridge.  $T_c$  Is detd. more accurately from detailed magnetization measurements in the vicinity of the transition by using a thermodn. parameters method. Values thus obtained for the crit. exponents  $\beta$ ,  $\gamma$  and  $\delta$  are close to the values caled. in a 3d-Heisenberg model. The satn. magnetization at 4.2 K is 212 ( $\pm 2$ ) emu/g, which yields a moment  $\mu_{Co} = 7.07 (\pm 0.07)$   $\mu$ B/Gd at., if one assumes that  $\mu_{Co}$  is zero. The effective moment deduced from the Curie-Weiss law at high temp. is 8.4  $\mu$ B per Gd at. (assuming  $\mu_{Co} = 0$ ). The paramagnetic Curie temp. is 183 K. Spin-echo NMR measurements were performed at 1.3 K in zero field. A broad line (half-width 35 MHz) centered at 70 MHz is attributed to the resonance of <sup>59</sup>Co nuclei. Thus, the high-frequency field at <sup>59</sup>Co nuclei is slightly larger in amorphous Gd<sub>2</sub>Co than in cryst. GdCo<sub>2</sub>, where  $\mu_{Co}$  is known to be 1.02 ( $\pm 0.03$ )  $\mu$ B. Such a high value for a high-frequency field in the amorphous case might originate from conduction electron polarization by neighboring Gd atoms.

*C.A.1978.89,  
V.E.M.*

Gd<sub>x</sub>Al<sub>1-x</sub>)<sub>2</sub>

1979

90: 114108e ESR and the magnetic properties of the gadolinium-aluminum (GdAl<sub>2</sub>) - gadolinium-cobalt (GdCo<sub>2</sub>) system. Kaczmarska, K.; Kwapińska, E.; Chelkowski, A. (Inst. Phys., Silesian Univ., Katowice, Pol.). *Acta Phys. Pol. A* 1979, A55(1), 69-72 (Eng). The x-ray, magnetic and ESR studies of ferromagnetic Gd<sub>x</sub>Al<sub>1-x</sub>)<sub>2</sub> type compds. were made for the paramagnetic region at 77-400 K. The transition temps., effective moments, thermal broadening of the resonance line and g-factors were measured. The line broadening was independent of the GdCo<sub>2</sub> concn. in Gd<sup>3+</sup> for Co<sup>2+</sup> concn. of >10%. The Co-concn. was given by the l.fac.

Tex

PA.1949,90, N14

$\text{GdCo}_2$

Klimmer H., et al. 1979

( $D_2$ ) *J. Phys. Chem. Solids*,  
1979, 40 (3), 195-200

(cur.  $\bullet \text{PrCo}_2 ; \bar{I}$ )

$GdCoO_3$

1980

Coutures J.P., et al.

$T_m$ ;  $\Delta H_m$ ; High Temp. Sci., 1980,  
B, N 1-4, 331-336.

● (cer.  $LaCrO_3$  ; ?)

GdCo

1980

( $T_{k\gamma}$ )

/ 93: 214402b Phase transition of gadolinium-cobalt (GdCo) amorphous films at the compensation point. Makarov, V. V., Karpovich, V. I.; Lukin, B. I. (Fiz.-Tekh. Inst. im. Ioffe, Leningrad, USSR). *Fiz. Tverd. Tela (Leningrad)* 1980, 22, 2495-7 (Russ). Study of the hysteresis of the anomalous H<sub>2</sub>O emf. in GdCo amorphous films at various temps. near the compensation point ( $T_k$ ) showed that at  $T_k$  in a magnetic field, a 1st-order phase transition can occur, at which there is a temp range of coexistence of 2 collinear magnetic phases. A strong magnetic field leads to suppression of the high-temp. phase and thus to a decrease in  $T_k$  of a few degrees.

C.A. 1980, 93 n22

$\text{FdCo}_3\text{-H}$

Lommelde 11442 | 1981

Kierstead H. A.

pyrobaud

guarp'

J. Less-Common Metals,  
1981, 78, 81-90.

$\text{Cd}[\text{Co}_3-\text{H}]$  [Lommel 11455] 1981.

Kierstead H. A.

m.gu. cb-6a  
( $\delta\text{H}_2$ ,  $\pm 5_a$ )

J. Less-Common Metals  
1981, 78, 29-54.

GdGaCo

1982

Cerebus O. M., Freudenthal  
and Clegg P. E. 4 gp.

Красн. Докт. АН УзСР, 1982,  
сигн. № 5, NII, 60-62.

(Cer. Pr GaCo; I)

$GdCoO_3$

1982

Петров А.Н., Кронштадт

А.Ю. и др.

Всес. конгр. по катализу-  
магнитам, магнитам и хим. переходам.  
Сб-ка. Томск, 14-16 сентябрь, 1982.

Российск. физ. годы. Томск,  
1982, 335-337.

(ав.  $SmCoO_3$ ; I)

GdCostHyl(k)

[Om. 16931]

1983

Oesterreicher H.,

Af H,  
oyenku

x. Less-Common Metals,  
1983, 91, N<sub>2</sub>, L17-L20.

$GdCo_3$

1984

Petrov A. N., Kropo-  
rev A. Yu., et al.

$\Delta_f G$ ,  
неприм.  
п-уси

Zh. Fiz. Khim. 1984,  
58 (1), 50-53.

(cui.  $SmCo_3$ ; -)

GdCo<sub>4</sub>B

1984

Селезнево К.Н., Калеев  
Мирков Т.В., Кравченко О.В.  
"I" гр.

Kр;

Ж. Металлург. промышл., 1984,  
29, № 10, 2629-2631.

(см. YCo<sub>4</sub>B; I)

$GdCo_2$

1986

Colinet C., Pasturel A.

J. Less-Common Metals,

$\Delta H_f$ ; 1986, 119, N<sup>o</sup>, 167-174.

(c.c.  $GdFe_2$ ;  $T$ )

1986

Кузьма Ю. Б., Овод М. Р., Давыдов В. Н.

*см. факсим* Рентгенографическое исследование системы Gd—  
Со—Р

//Изв. АН СССР. Неорган. материалы. — 1986. —  
Т. 22, № 4. — С. 692—693.

— — 1. Гадолиний, фосфиды двойные — Рентгенографические  
исследования. 2. Кобальт, фосфиды двойные — Рентгенографиче-  
ские исследования.

№ 60767

14 № 4585

ВКП 30.05.86

Изд-во «Книга»

УДК 546.662.73.18+669.862.25.779

ЕСКЛ 18.5

Co<sub>2</sub>Fd  
Co<sub>5</sub>Fd  
Co<sub>17</sub>Fd<sub>2</sub>

(M. 24281)

1986

Schott J., Sommer F.,

Z. Less-Common Metals,  
1986, 119, N2, 307-317.

AfH;

6дл03

1986

10 Б3111. Реакции в системах  $Gd_2O_3-Co_3O_4$  и  $Nd_2O_3-Co_3O_4$  в твердом состоянии. Цыганков В. Н., Петров К. И. «Ж. неорг. химии», 1986, 31, № 1, 191—192

Методами измерения электросопротивления, РФА и ИК-спектроскопич. анализа исследованы твердофазные взаимодействия в поликрист. составах систем  $Gd_2O_3-Co_3O_4$ ,  $Nd_2O_3-Co_3O_4$ . Установлены т-ры начала взаимодействий и продолжительность процессов образования равновесных фаз составов  $GdCoO_3$ ,  $NdCoO_3$ . Резюме

(4) 12



ж. 1986, 19, N 10

Gd-Co

1987

Colinet C.,  
Pastorel A., et al.

$\Delta_f H$ ; Metall. Trans. A 1987,  
18A(5), 903-7.

(c.c. ● Gd-Fe; I)

$\text{Fe}_2\text{B}_3 - \text{Co} - \text{Co}_2\text{O}_3$  (OM-31267) 1988

Kitaegawa K.,

J. Solid State Chem.

1988, 76, N2, 241-247.

mepruo-  
guh.

GdCo<sub>2</sub>

1989

111: 103391t Anomalous heat capacity of Laves compound gadolinium-cobalt (GdCo<sub>2</sub>). Leghari, S. B. K. (Dep. Phys., Gov. Coll., Lahore, Pak.). *J. Nat. Sci. Math.* 1989, 29(1), 69-85 (Eng). The heat capacity,  $C_p$ , of Co<sub>2</sub>Gd was measured at 300-473 K by a modified temp. modulation technique. A peak was obsd. at  $\sim$ 400 K. Magnetic contribution to  $C_p$  was evaluated.

(P)

c.A.1989, 111, N12

$GdCo_x$  1989

Nikolaenko I.V.,  
Turchanin M.A.

$\Delta H_{mix}$  Rasplavy 1989, (5),  
77-9.

(see  $^\bullet NdCo_x$ ; I)

*fd Co<sub>2</sub>*

*1990*

115: 103439x Transport properties of Laves compound gadolinium-cobalt ( $GdCo_2$ ) in the temperature range of 300-500 K. Leghari, S. B. K. (Dep. Phys., Gov. Coll., Lahore, Pak.). *J. Nat. Sci. Math.* 1990, 30(2), 103-27 (Eng). The elec. resistivity  $\rho$ , Lorentz no.  $L$ , and the thermal cond.  $\lambda$  of the title compd. were detd. at 300-500 K. The  $\rho$  characteristically changes slope around 100 K and its temp. deriv.  $d\rho/dT$  peaks at 395.4 K. Both  $L$  and  $\lambda$  show a gently increasing trend in the whole temp. range, with only a weak data scattering or a weak flattening of the  $L-T$  and  $\lambda-T$  curves around  $T_c \sim 400$  K. The values of  $L$  are close to  $L_0 \sim 2.45 \times 10^{-8} V^2.K^{-2}$ , the W.F.L. value which suggests that electrons are mainly responsible for heat transport through the material. The electronic and lattice components of  $\lambda$  are deduced. The general behavior of  $L$  and  $\lambda$  appears more close to that found in some of the rare earth-transition metals intermetallics rather than those characteristic of a ferromagnetic material.

*Morphology.  
Cb-fa*

c.A. 1991, 115, N10

$GdCo_x$  1990  
Мирошнико У. В.,  
Тимофеев М. А. и др.

УЗб. АН СССР. Исправ.

$\Delta H_{mix}$  датеп. 1990. № 26, № 1, с.  
2308-2315.

(Cal.  $\bullet LaCo_x$ ; I)

$\text{FdCo}_3$

1991

Pillai C.G.S., George A.U.

mendo- Int. J. Thermophys. 1991.

KipogogM. 12, Nl. C. 207-221.

(cu.  $\bullet \text{NdCo}_3$ ; I)

1993

GdCo<sub>4</sub>B

21 Б3170. Магнитные характеристики GdCo<sub>4</sub>B в магнитном поле высокой напряженности. Magnetic property of GdCo<sub>4</sub>B in high field /Ito T., Ogata H., Ido H., Kido G. //J. Appl. Phys. .—1993 .—73 ,№ 10 ,2A .—С. 5914—5916 .—Англ.

Исследовано влияние т-ры на намагниченность насыщения и процессе намагничивания GdCo<sub>4</sub>B в импульсном магн. поле  $\leq 13$  Тл. Сплав, полученный методом дуговой плавки, измельчали в порошок, смешивали с эпоксидной смолой и при комнатной т-ре в магн. поле 20 кЭ формовали образцы. T-ра Кюри и точка компенсации сплава составляли соответственно 517 и 421 К. Средний магн. момент Со, равный 1,04 м<sup>3</sup>, свидетельствует о том, что кол-во атомов Со в узлах 6i составляет около 50% от кол-ва атомов Со в узлах 2c. Константа анизотропии подрешетки Gd при 78, 147 и 225 К, составляет соответственно  $5,8 \cdot 10^6$ ,  $3,9 \cdot 10^6$  и  $2,9 \cdot 10^6$  эрг/см<sup>3</sup>; ее величина свидетельствует о диполь-дипольном взаимодействии Gd—Gd и Gd—Co.

А. Зыков

Кюри

X.1994, №21

1995

6d<sub>10</sub><sub>12</sub> B<sub>6</sub>

Nahn, Kyun; Kim,  
Chul Soo., et al.,

(G) J. Appl. Phys. 1995,  
78 (6), 3980 - 2.

(all. X<sub>6</sub><sub>12</sub> B<sub>6</sub>;  $\Gamma$ )

F: Gd-Co-B

P: 1

132:98751 Phase relation in the system Gd-Co-  
B. Chen, Yi; Liang, Jingkui; Chen, Xiaolong;  
Liu, Quanlin Institute of Physics and Center for  
Condense Matter Physics, Chinese Academy of Science  
Beijing 100080, Peop. Rep. Chi J.  
Alloys Compd., 296(1-2), L1-L3 (English) 2000

The isothermal section at 700 .degree.C in  
the Co-rich ternary Gd-Co-B system was detd. by  
means of x-ray diffraction. In this range, nine  
tern borides were obsd.: Gd<sub>3</sub>Co<sub>13</sub>B<sub>2</sub>, GdCo<sub>4</sub>B,  
Gd<sub>3</sub>Co<sub>11</sub>B<sub>4</sub>, Gd<sub>2</sub>Co<sub>7</sub>B<sub>3</sub>, GdCo<sub>3</sub>B<sub>2</sub>, Gd<sub>2</sub>C GdCo<sub>12</sub>B<sub>6</sub>,  
GdCo<sub>4</sub>B<sub>4</sub>, GdCo<sub>2</sub>B<sub>2</sub>. This isothermal section at 700  
.degree.C is to other isothermal sections found in  
the literatures, but they do not in the compds.  
Gd<sub>3</sub>Co<sub>13</sub>B<sub>2</sub> and Gd<sub>2</sub>Co<sub>14</sub>B. The first five borides are  
members o homologous series Gdm+nCo5m+3nB2n, which  
is formed by alternative stackin layers of GdCo<sub>5</sub>  
with n layers of GdCo<sub>3</sub>B<sub>2</sub> along the c-axis.

2000

C-A. 2000, 132

# *GdCo - бориды*

2000

*фазовые  
диаграммы*

F: Gd-Co-B

P: 1

*GdCo - бориды (фазовые диаграммы)*

02.05-19Б3.54. Фазовые отношения в системе Gd-Co-B.

Phase relation in the system Gd-Co-B / Chen Yi, Liang Jingkui, Chen Xiaolong, Liu Quanlin // J. Alloys and Compounds. - 2000. - 296, N 1-2. - С. L1-L3. - Англ.

С помощью дифракции рентгеновских лучей определено изотермическое сечение температуре 700°C фазовой диаграммы тройной системы Gd-Co-B в области с высоким содержанием Co. В этой области наблюдались девять тройных боридов  $Gd[3]Co[13]B[2]$ ,  $GdCo[4]B$ ,  $Gd[3]Co[11]B[4]$ ,  $Gd[2]Co[7]B[3]$ ,  $Gd[1]Co[3]B[2]$ ,  $Gd[2]Co[14]B$ ,  $GdCo[12]B[6]$ ,  $GdCo[4]B[4]$ ,  $GdCo[2]B[2]$ . Первые пять боридов являются членами гомологического ряда  $Gd[m+n]Co[5m+3n]B[2n]$ , которые образуются при чередующейся упаковке  $m$  слоев  $GdCo$  с  $n$  слоями  $GdCo[3]B[2]$  оси с. Библ. 14.

GdCl<sub>3</sub> - CoCl<sub>2</sub>

2001

134: 228057v Study of saturation vapor pressure in the GdCl<sub>3</sub>-CoCl<sub>2</sub> system. Kritskaya, E. B.; Kostenko, N. B.; Burylev, B. P.; Moisov, L. P. (Krasnodar, Russia). *Metally* 2001, (1), 26-28 (Russ), TOO NPP "ELIZ". Melting diagram of the title system was constructed and b.ps. of the corresponding melts were measured. The mixt. obeys Raoult's law; its evapn. enthalpy is reported.

(S Rm)

C.A. 2001, 134, N16.

*GdCo<sub>8</sub>Sn<sub>4</sub>*

*2000*

F: GdCo<sub>8</sub>Sn<sub>4</sub> ( $T_{tr}$ )

P: 1

02.07-19Б3.86. Магнитные свойства R[3]Co[8]Sn[4] (R=Y, Gd). Magnetic prop of R[3]Co[8]Sn[4] (R=Y, Gd) / Canepa F., Napoletano M., Manfrinetti P., Palenzona A., Cirafici S., Merlo F. // J. Magn. and Magn. Mater. - 2000. 220, N 1. - С. 39-44. - Англ.

*Чт*

Исследованы магн. свойства интерметаллических соединений R[3]Co[8]Sn[4] с R=Y. Температура перехода в ферромагнитное (R=Y) и ферримагнитное (R=Gd) состояния составляет 61,5 и 102,5 К соответственно. При R=Y магн. восприимчивость в парамагнитном состоянии описывается законом Кюри-Вейссса; локальные магн. моменты атомов Co равны 0,98 'мю'[Б], где 'мю'[Б] - магнетон Бора. Анализ полученных результатов в рамках теории молекулярного поля позволил оценить параметры обменного взаимодействия J=83 и 11 к[B] между атомами Co-Co и G соответственно (k[B] - постоянная Больцмана). Библ. 15.

*Cd/C<sub>CO</sub>3*

F: CdCO<sub>3</sub>-MgCO<sub>3</sub> (T<sub>tr</sub>)  
P: 1

2003

04.22-19Б3.40. Расчеты на основе первых принципов субсолидусных фазовых диаграмм систем CaCO<sub>3</sub>-MgCO<sub>3</sub> и CdCO<sub>3</sub>-MgCO<sub>3</sub>. First-principles-based calculations of the CaCO<sub>3</sub>-MgCO<sub>3</sub> and CdCO<sub>3</sub>-MgCO<sub>3</sub> subsolidus phase diagrams / Burton B. P., Van de Walle A. // Phys. and Chem. Miner. - 2003 30, N 2. - С. 88-97. - Англ.

*T<sub>tr</sub>*

На основе первых принципов рассчитаны фазовые диаграммы систем CaCO<sub>3</sub>-Mg и CdCO<sub>3</sub>-MgCO<sub>3</sub>. Рассчитанные фазовые диаграммы находятся в качественно полуколичественном согласии с экспериментом. Предсказаны две ненаблюдавш фазы Cd<sub>3</sub>Mg(CO<sub>3</sub>)<sub>4</sub> и CdMg<sub>3</sub>(CO<sub>3</sub>)<sub>4</sub>. Не предсказано новых фаз в си CaCO<sub>3</sub>-MgCO<sub>3</sub>, но предсказано низколежащее метастабильное состояние Ca<sub>3</sub>Mg(CO<sub>3</sub>)<sub>4</sub>, аналогичное фазе Cd<sub>3</sub>Mg(CO<sub>3</sub>)<sub>4</sub>. Все предсказанные низколежащие метастабильные состояния за исключением гунтита CaMg<sub>3</sub>(CO<sub>3</sub>)<sub>4</sub> имеют структуры, родственные структуре доломита, т.е. они являются слоист структурами.